



**Politecnico  
di Torino**

# Covid-19 (Italia)

# Modelli epidemiologici su Network

Gioana Teora s267379  
Diego Urbani s275324

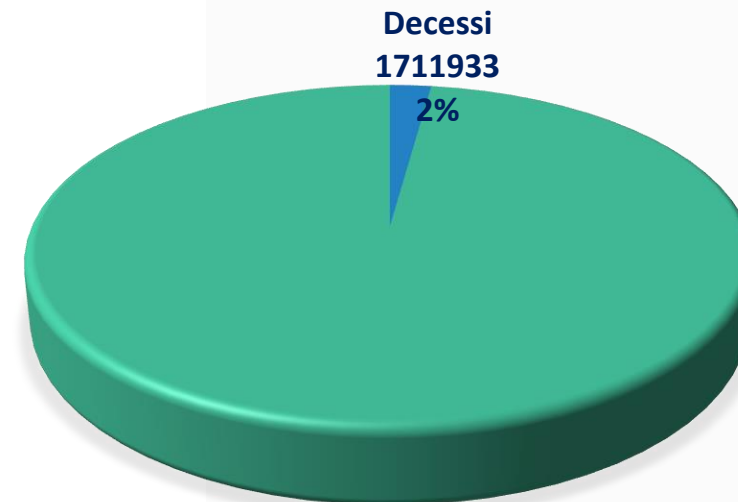
**Modelli matematici per la Biomedicina**  
**A.A. 2020/2021**

[HTTPS://WWW.SALUTE.GOV.IT/PORTALE/NUOVOCORONAVIRUS/DETTAGLIOCONTENUTI/NUOVOCORONAVIRUS.JSP?LINGUA=ITALIANO&ID=5338&AREA=NUOVOCORONAVIRUS&MENU=VUOTO](https://www.salute.gov.it/portale/nuovocoronavirus/dettagliocontenuti/nuovocoronavirus.jsp?lingua=italiano&id=5338&area=nuovocoronavirus&menu=vuoto)

# Malattia Covid-19

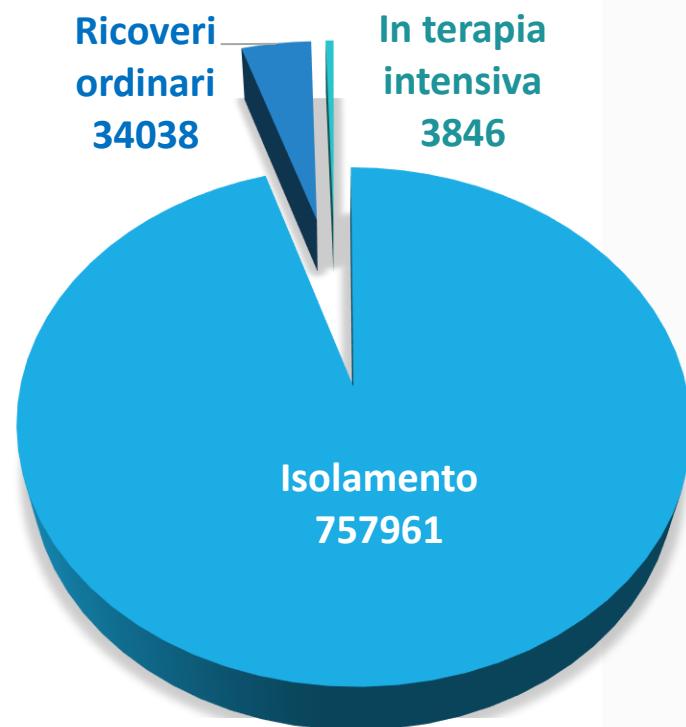
- Causata dal Betacoronavirus **SARS-CoV-2**.
- Sintomatologia simil-influenzale.
- Nelle forme gravi: SARS (*Severe Acute Respiratory Syndrome*).
- Dichiarata come pandemia dalla OMS in data 11 marzo 2020.

## Mortalità nel mondo (23 dicembre 2020)

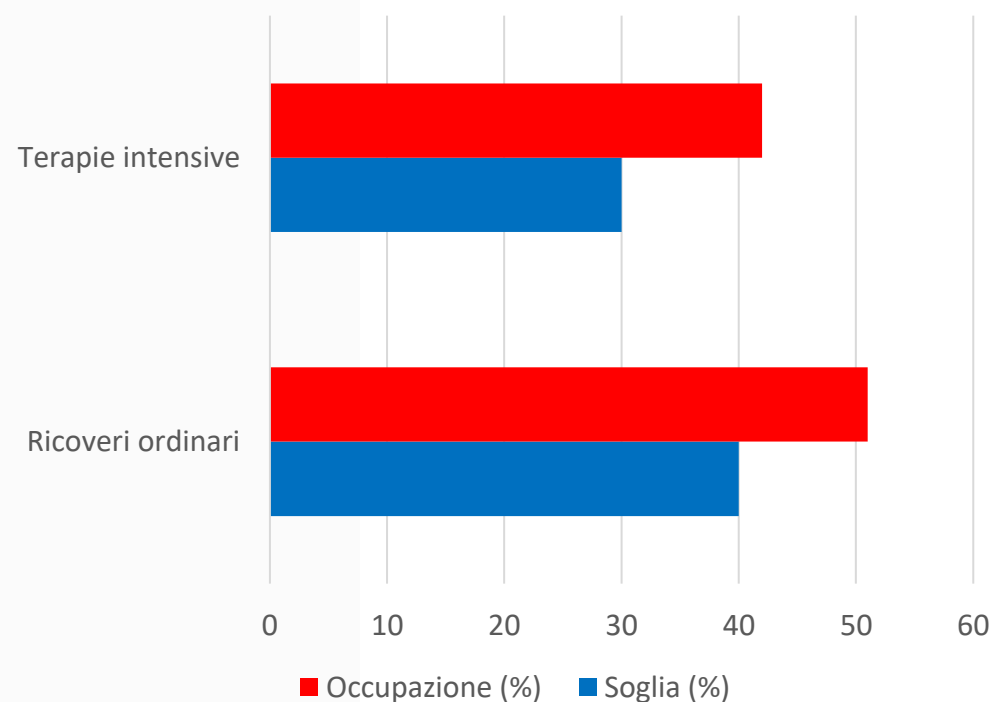


# Pressione sul Sistema Sanitario italiano

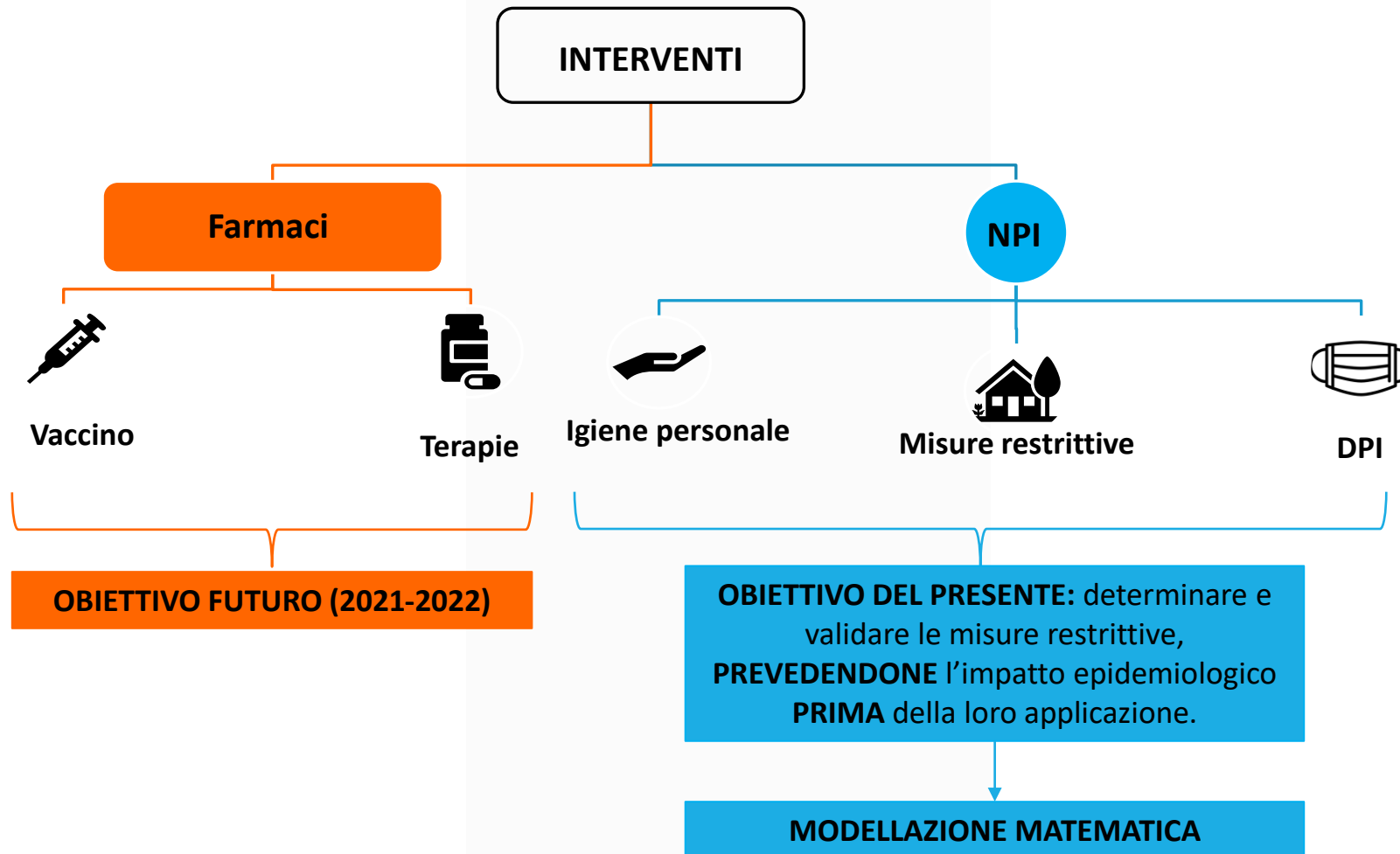
Distribuzione degli attuali positivi  
al 23-11-2020



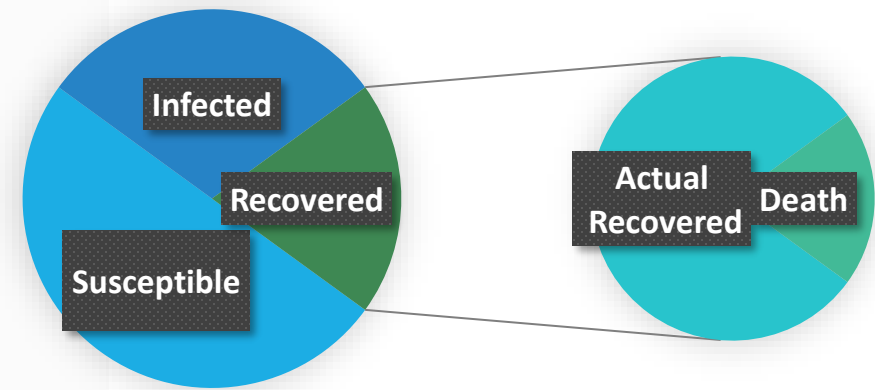
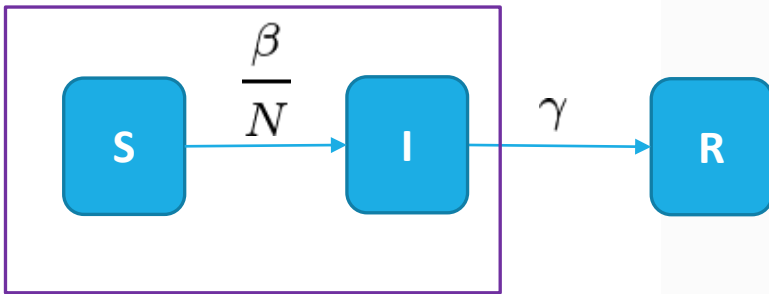
Occupazione dei reparti  
al 23-11-2020



# Scopo della modellazione matematica



# Modello matematico: SIR (Susceptible-Infected-Recovered)



**Modello**

$$\begin{cases} \dot{S} = -\beta \frac{S}{N} I \\ \dot{I} = \beta \frac{S}{N} I - \gamma I \\ \dot{R} = \gamma I \end{cases}$$

**Condizioni iniziali**

$$\begin{cases} S(t = 0) = S_0 \\ I(t = 0) = I_0 \\ R(t = 0) = R_0 \end{cases}$$

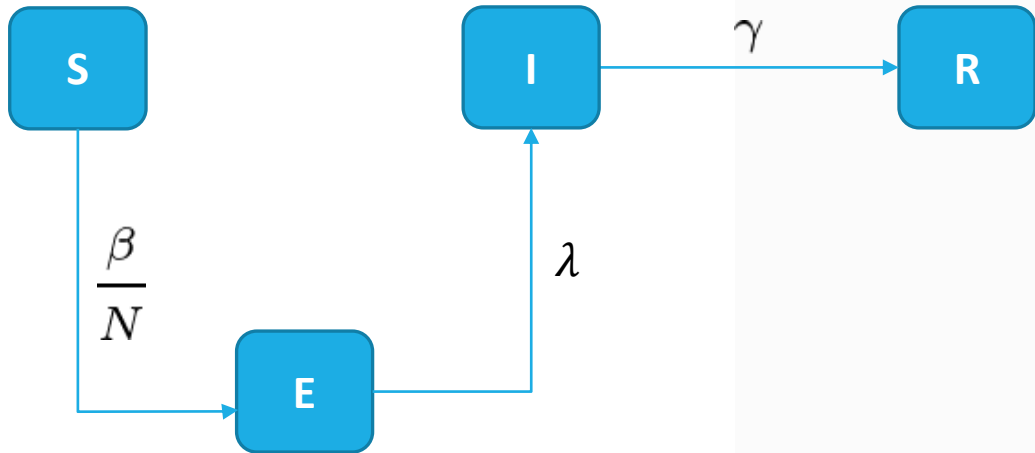
**Conservatività**

$$\begin{aligned} \dot{N} &= 0 \\ S_0 + I_0 + R_0 &= N \end{aligned}$$

**Parametri aggiuntivi ( $[giorni^{-1}]$ )**

$\beta > 0$ : tasso di infezione.  
 $\gamma > 0$ : tasso di guarigione.

# Modello SEIR



**EXPOSED (E):** infetti non infettivi nel periodo di incubazione.

**INFECTED (I):** infetti con possibilità di infettare

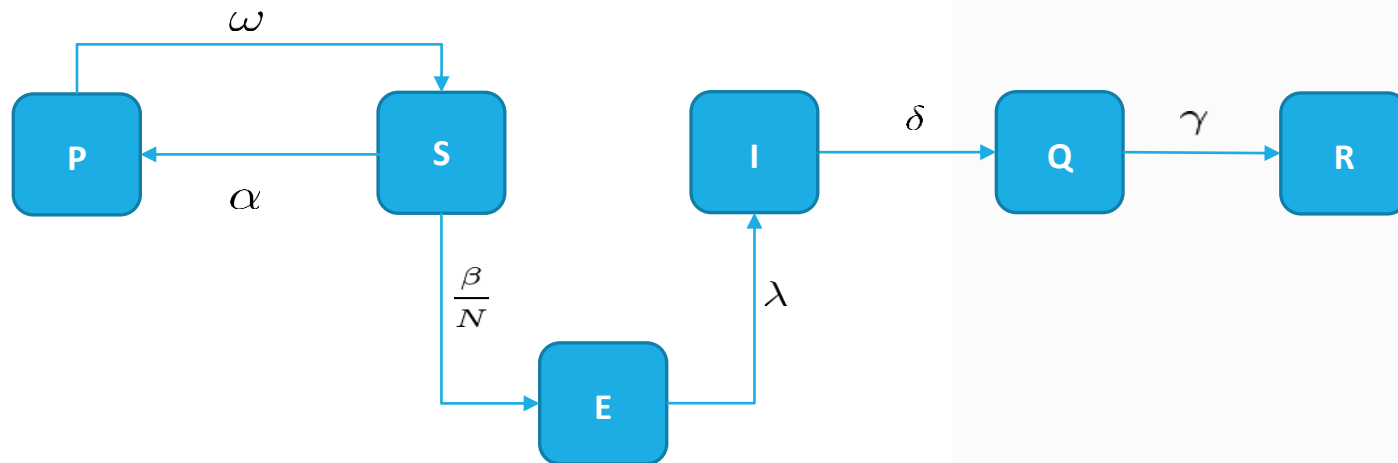
## Modello

$$\begin{cases} \dot{S} = -\beta \frac{S}{N} I \\ \dot{E} = \beta \frac{S}{N} I - \lambda E \\ \dot{I} = \lambda E - \gamma I \\ \dot{R} = \gamma I \end{cases}$$

**Parametri aggiuntivi ( [giorni<sup>-1</sup>] )**

$\lambda > 0$ : inverso del periodo di incubazione.

# Modello SEIQR



**INFECTED (I):** infetti (con possibilità di infettare) non ancora segnalati al Sistema Sanitario Nazionale (SSN).

**QUARANTINED (Q):** infetti segnalati al SSN e sottoposti ad isolamento contumacia.

**PROTECTED (P):** individui protetti da NPI.

## Modello

$$\begin{cases} \dot{S} = -\beta I \frac{S}{N} - \alpha S + \omega P \\ \dot{E} = \beta I \frac{S}{N} - \lambda E \\ \dot{I} = \lambda E - \delta I \\ \dot{Q} = \delta I - \gamma Q \\ \dot{R} = \gamma Q \\ \dot{P} = \alpha S - \omega P \end{cases}$$

## Parametri aggiuntivi ( [giorni<sup>-1</sup>])

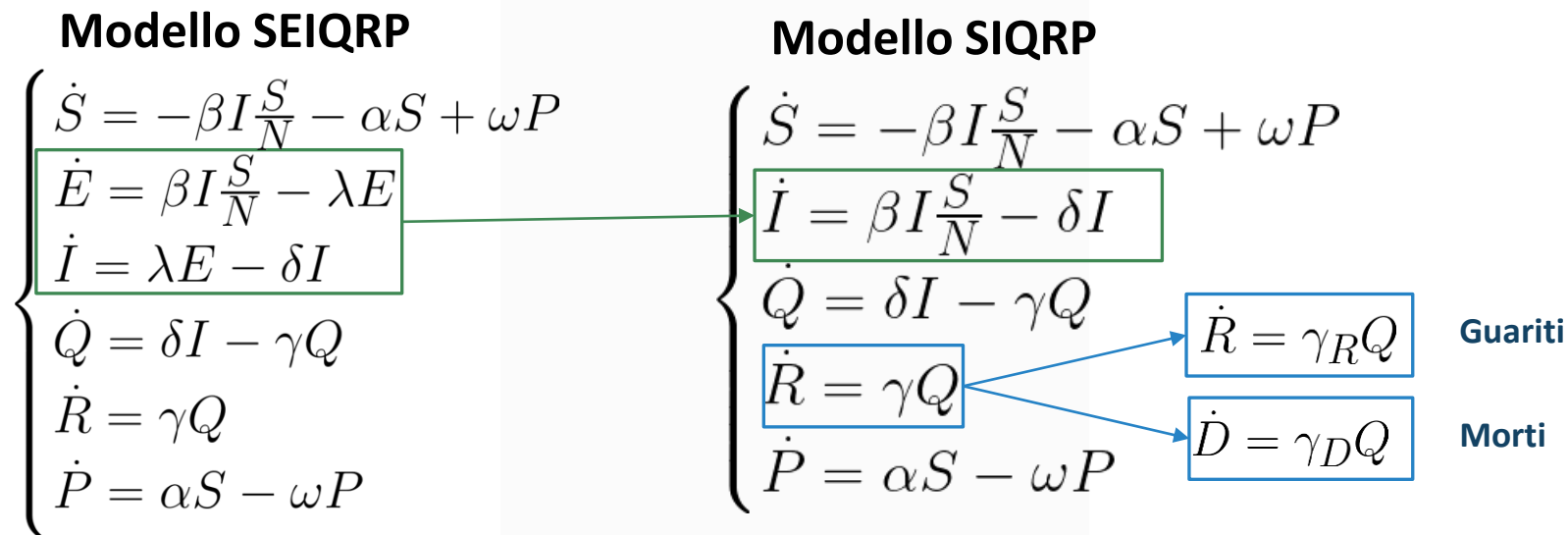
$\delta > 0$ : inverso del periodo di tempo medio che intercorre tra l'infezione e la messa in quarantena.

$\alpha > 0$ : protection rate.

$\omega > 0$ : tasso di ritorno alla categoria dei suscettibili legato alla non osservanza dei NPI.

# Quanto influisce il tempo di incubazione?

Nel *periodo di incubazione* si può essere infettivi già 48 ore prima dell'esordio dei sintomi. Cosa comporta inglobare le categorie E ed I nell'unica categoria I degli infetti (non segnalati al SSN)?





# Parametri costanti a tratti

- ❑ Il periodo  $[T_0, T]$  dal 22-03-2020 al 23-12-2020 viene suddiviso in otto sotto-periodi  $[T_i, T_{i+1}]$ ,  $i = 0, \dots, 7$ .
- ❑ In ogni sotto-periodo i parametri dei modelli si assumono costanti, ed ogni periodo è caratterizzato da un set di parametri  $\mu_i, i = 0, \dots, 7$ .
- ❑ La variazione dei parametri riflettono cambiamenti nelle misure restrittive.
- ❑ In ogni sotto-periodo si ha un diverso Problema di Cauchy per lo specifico set di parametri.

## Teorema : esistenza e unicità della soluzione globale

Per ogni condizione iniziale  $Y_0 \in \Omega = \{Y \in \mathbb{R}^d: \sum_{j=1}^d Y_j = N\}$  ammissibile per la conservatività del modello, la sequenza di Problemi di Cauchy

$$\begin{cases} \dot{Y} = f(Y(t), t; \mu_0) & t \in [T_0, T_1] & Y(T_0) = Y_0 \\ \dot{Y} = f(Y(t), t; \mu_i) & t \in [T_i, T_{i+1}] & Y(T_i) = \lim_{t \rightarrow T_i} Y(t) & i = 1, \dots, 7 \end{cases}$$

ammette soluzione globale unica.

- ❑ I parametri risultano essere caratteristici di ciascuna regione.

## Parametri dei modelli

### Modello SEIQRDP

$$(\beta_j, \alpha_j, \omega_j, \lambda_j, \delta_j, (\gamma_R)_j, (\gamma_D)_j)$$

### Modello SIQRDP

$$(\beta_j, \alpha_j, \omega_j, \delta_j, (\gamma_R)_j, (\gamma_D)_j)$$

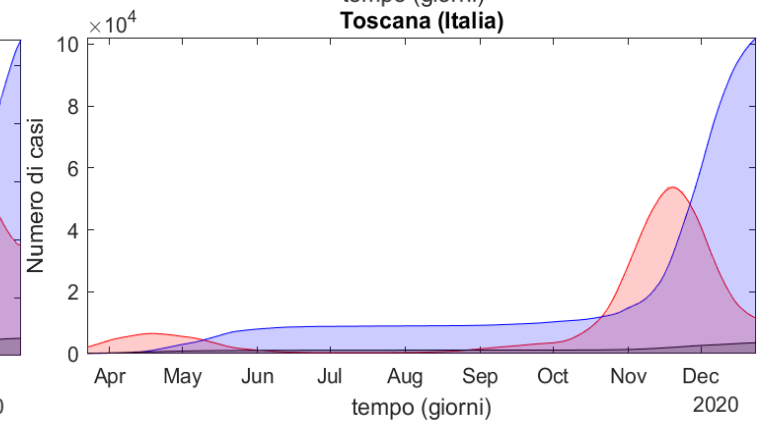
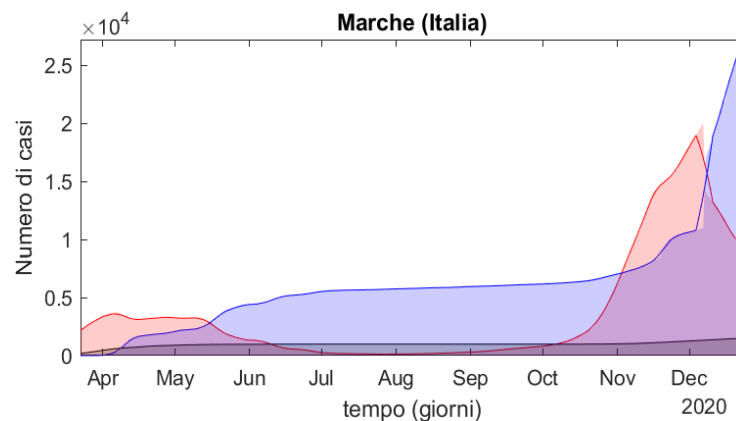
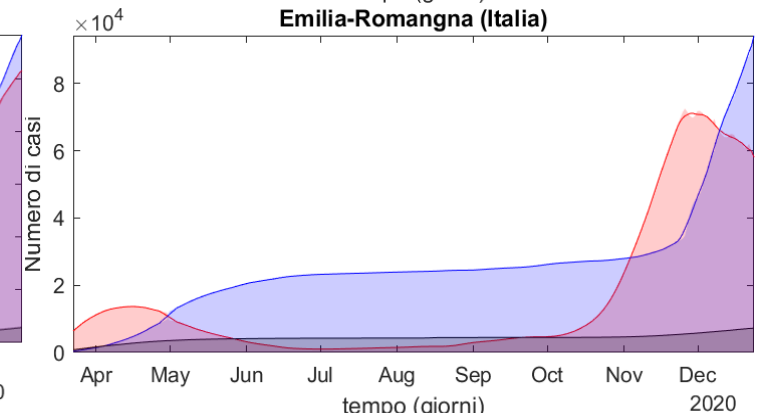
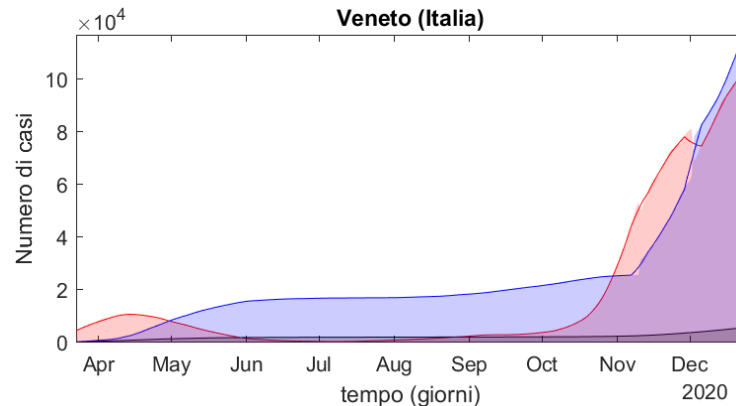
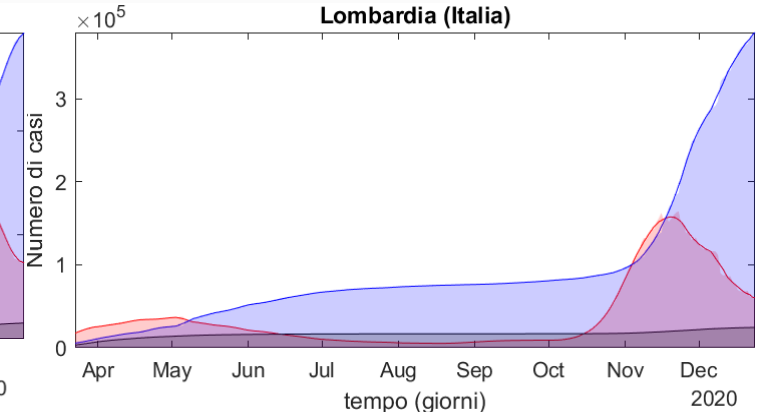
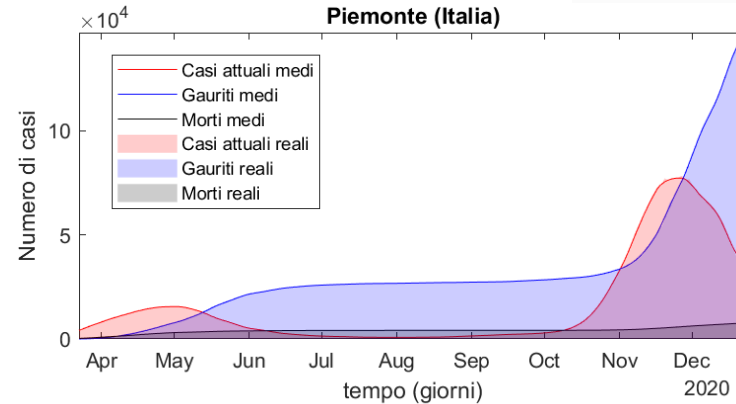
### Modello SQRD (SIR)

$$(\beta_j, (\gamma_R)_j, (\gamma_D)_j)$$

# Fase di pre-processing

Dati a disposizione:

- numero attuali positivi  $Q_j(t)$ ,
  - numero di individui guariti  $R_j(t)$ ,
  - numero persone decedute  $D_j(t)$ ,
- nel giorno  $t$  e nella regione  $j$ .



# Algoritmo

- Data una stima iniziale  $\mu_0$  per i parametri del modello, l'algoritmo di ottimizzazione consiste nel cercare  $\mu^*$ , soluzione del problema

$$\min_{\mu} \sum_{i=1}^8 \sum_{t=1}^{T_i} \sum_{j=1}^6 \left[ \left( Q_j(t) - \hat{Q}_j(t) \right)^2 + \left( R_j(t) - \hat{R}_j(t) \right)^2 + \left( D_j(t) - \hat{D}_j(t) \right)^2 \right],$$

dove  $T_i$  indica l'ampiezza del periodo  $i$ -esimo.

- Le stime  $\hat{Q}_j(t)$ ,  $\hat{R}_j(t)$  e  $\hat{D}_j(t)$  sono state ottenute risolvendo localmente il sistema differenziale tramite il metodo di Runge-Kutta del 4° ordine.

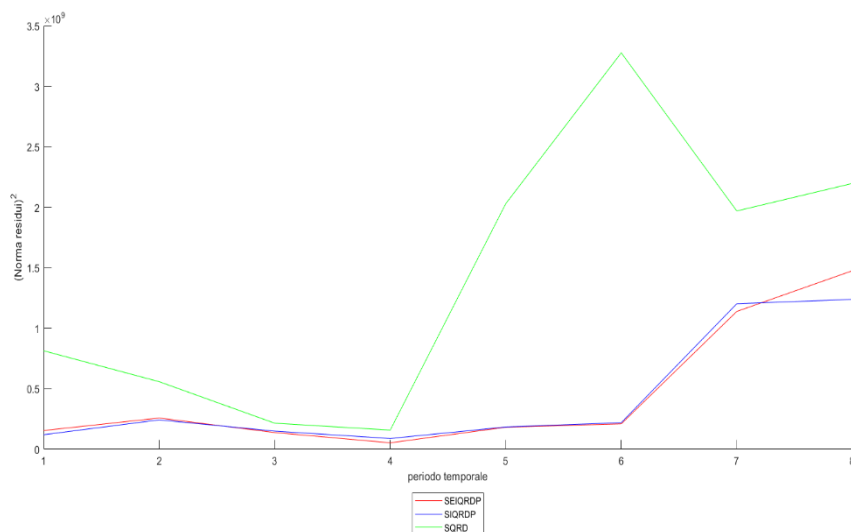
```
1 function Y = RK4_onNetwork(Fun,Y,H,L,Z,dt)
2     % Numerical trick: the parameters are assumed constant between
3     % two time steps
4
5     % Fun(Y,H,L,Z) = Z + HYL'
6
7     % Runge-Kutta of order 4
8     k_1 = Fun(Y,H,L,Z);
9     k_2 = Fun(Y+0.5*dt*k_1,H,L,Z);
10    k_3 = Fun(Y+0.5*dt*k_2,H,L,Z);
11    k_4 = Fun(Y+dt*k_3,H,L,Z);
12
13    % output
14    Y = Y + (1/6)*(k_1+2*k_2+2*k_3+k_4)*dt;
15 end
```

# Simulazioni

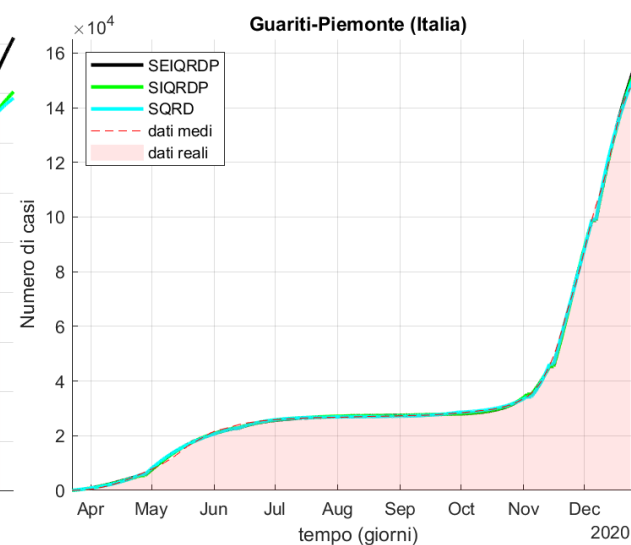
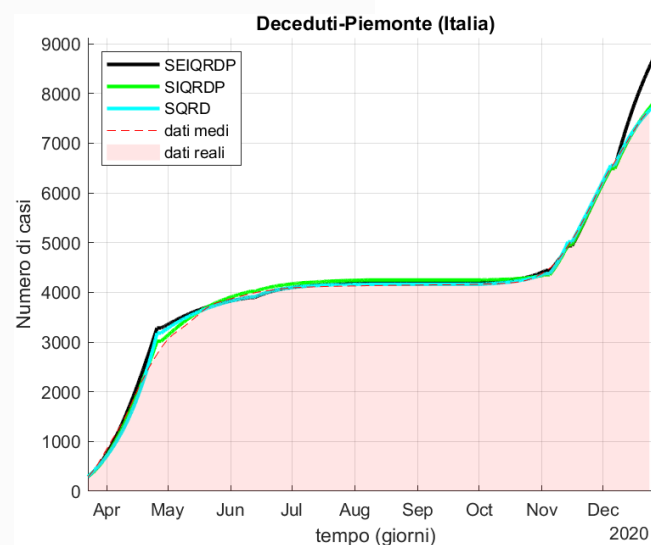
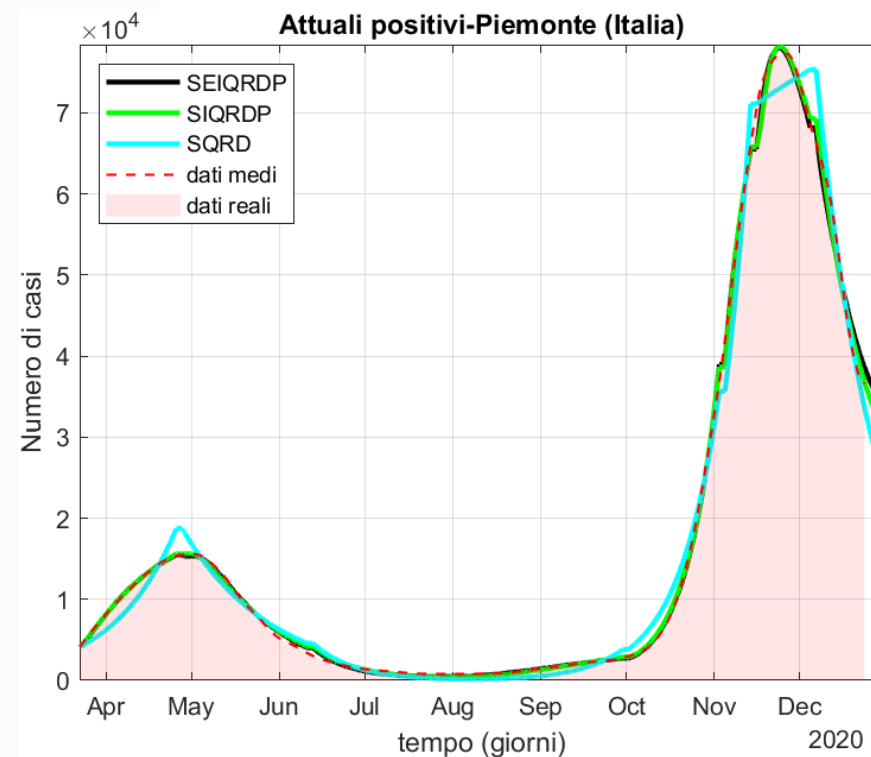
Andamento della norma dei residui al quadrato

$$\sum_{t=1}^{T_i} \sum_{j=1}^6 \left[ \left( Q_j(t) - \hat{Q}_j(t) \right)^2 + \left( R_j(t) - \hat{R}_j(t) \right)^2 + \left( D_j(t) - \hat{D}_j(t) \right)^2 \right]$$

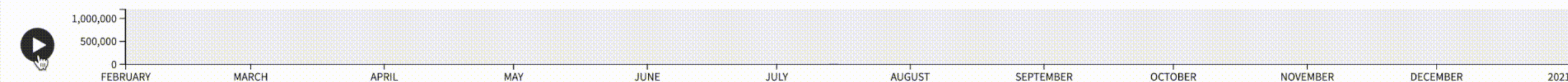
in ogni sotto-periodo  $i$ .



Quanto è influente il periodo di incubazione?



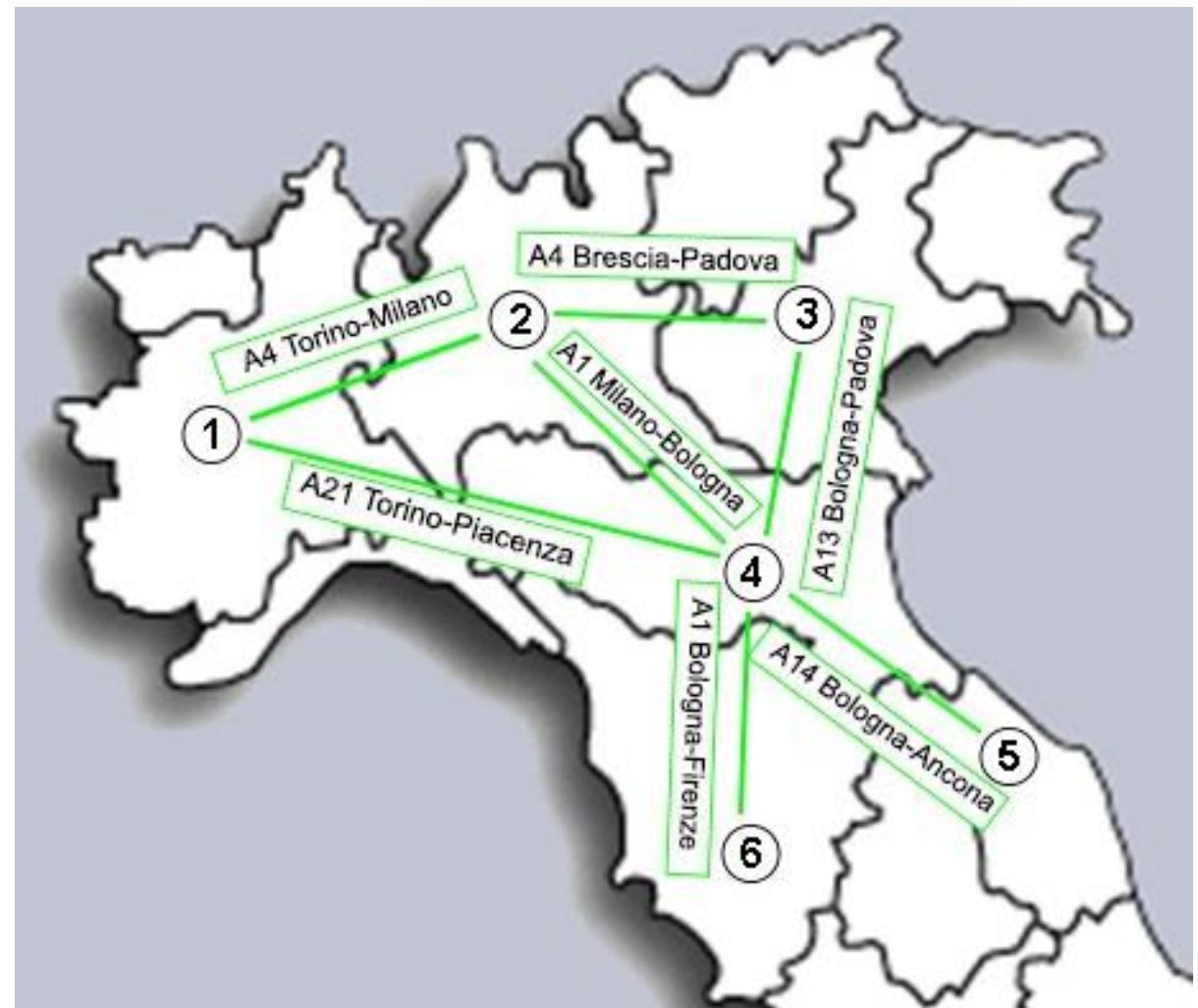
Regione Piemonte Lombardia Veneto Emilia-Romagna Toscana Marche



Source: National Geophysical Data Center / World Data Service (NGDC/WDS): Significant Earthquake Database. National Geophysical Data Center, NOAA.

## Caso studio

- Diffusione della Covid-19 tra sei regioni italiane Piemonte, Lombardia, Veneto, Emilia-Romagna, Toscana, Marche.
- Si assume la mobilità interregionale basata solamente sul **traffico autostradale**.
- Rete modellata da un grafo indiretto avente le 6 regioni come nodi e i principali tratti autostradali che le uniscono come lati.





# Modello SEIQRDP su rete

In ogni nodo  $j = 1, \dots, 6$  viene definita un'istanza del modello

$$\begin{cases} \dot{S}_j = -\beta_j I_j \frac{S_j}{N_j} - \alpha_j S_j + \omega_j P_j + \epsilon_S \sum_{k=1}^6 L_{jk} S_k \\ \dot{E}_j = \beta_j I_j \frac{S_j}{N_j} - \lambda_j E_j \\ \dot{I}_j = \lambda_j E_j - \delta_j I_j + \epsilon_I \sum_{k=1}^6 L_{jk} I_k \\ \dot{Q}_j = \delta_j I_j - ((\gamma_R)_j + (\gamma_D)_j) Q_j \\ \dot{R}_j = (\gamma_R)_j Q_j \\ \dot{D}_j = (\gamma_D)_j Q_j \\ \dot{P}_j = \alpha_j S_j - \omega_j P_j \end{cases}$$

**TERMINE DIFFUSIVO :**  
interazione (accoppiamento)  
della dinamica del nodo  $j$  con  
la dinamica degli altri nodi

La popolazione totale  $N = \sum_{j=1}^6 N_j$  si conserva.

In forma compatta

$$\begin{cases} \dot{Y} = Z + H Y L^T \\ Y(T_0) = Y_0 \end{cases}$$

dove,  $\forall j = 1, \dots, 6$ ,

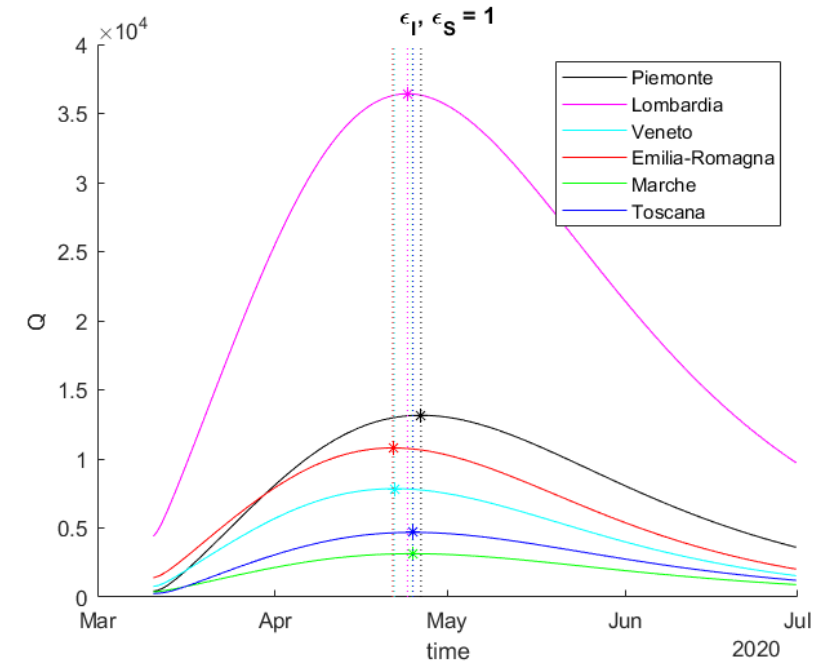
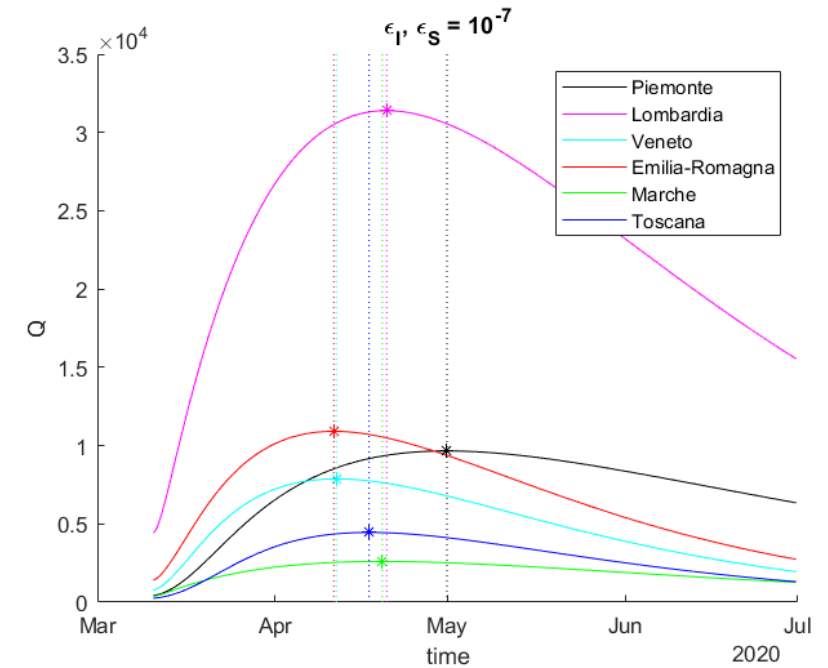
$$A_j = \begin{bmatrix} -\alpha_j & 0 & 0 & 0 & 0 & 0 & \omega_j \\ 0 & -\lambda_j & 0 & 0 & 0 & 0 & 0 \\ 0 & \lambda_j & -\delta_j & 0 & 0 & 0 & 0 \\ 0 & 0 & \delta_j & -((\gamma_R)_j + (\gamma_D)_j) & 0 & 0 & 0 \\ 0 & 0 & 0 & (\gamma_R)_j & 0 & 0 & 0 \\ 0 & 0 & 0 & (\gamma_D)_j & 0 & 0 & 0 \\ \alpha_j & 0 & 0 & 0 & 0 & 0 & -\omega_j \end{bmatrix}$$

$$Y_j = \begin{bmatrix} S_j \\ E_j \\ I_j \\ Q_j \\ R_j \\ D_j \\ P_j \end{bmatrix} \quad F_j(Y_j) = \begin{bmatrix} -\beta_j \frac{S_j}{N_j} I_j \\ \beta_j \frac{S_j}{N_j} I_j \\ 0 \\ 0 \\ 0 \\ 0 \\ 0 \end{bmatrix}$$

# Coupling strength

$$H = \begin{bmatrix} \epsilon_S & 0 & 0 & 0 & 0 & 0 & 0 \\ 0 & \epsilon_E & 0 & 0 & 0 & 0 & 0 \\ 0 & 0 & \epsilon_I & 0 & 0 & 0 & 0 \\ 0 & 0 & 0 & \epsilon_Q & 0 & 0 & 0 \\ 0 & 0 & 0 & 0 & \epsilon_R & 0 & 0 \\ 0 & 0 & 0 & 0 & 0 & \epsilon_D & 0 \\ 0 & 0 & 0 & 0 & 0 & 0 & \epsilon_P \end{bmatrix}$$

- ❑ I parametri  $\epsilon$ , detti *coupling strength*, sono espressi in  $[giorni^{-1}]$ .
- ❑ Misurano l'intensità della diffusione dei compartimenti del modello attraverso la rete.
- ❑ Si assume che  $\epsilon_E, \epsilon_Q, \epsilon_R, \epsilon_D, \epsilon_P$  siano nulli.





# Modellazione della mobilità

$$L = \begin{bmatrix} -L_{21} & L_{12} & 0 & 0 & 0 & 0 \\ L_{21} & -(L_{12} + L_{32} + L_{42}) & L_{23} & L_{24} & 0 & 0 \\ 0 & L_{32} & -(L_{23} + L_{43}) & L_{34} & 0 & 0 \\ 0 & L_{42} & L_{43} & -(L_{24} + L_{34} + L_{54} + L_{64}) & L_{45} & L_{46} \\ 0 & 0 & 0 & L_{54} & -L_{45} & 0 \\ 0 & 0 & 0 & L_{64} & 0 & -L_{46} \end{bmatrix}$$

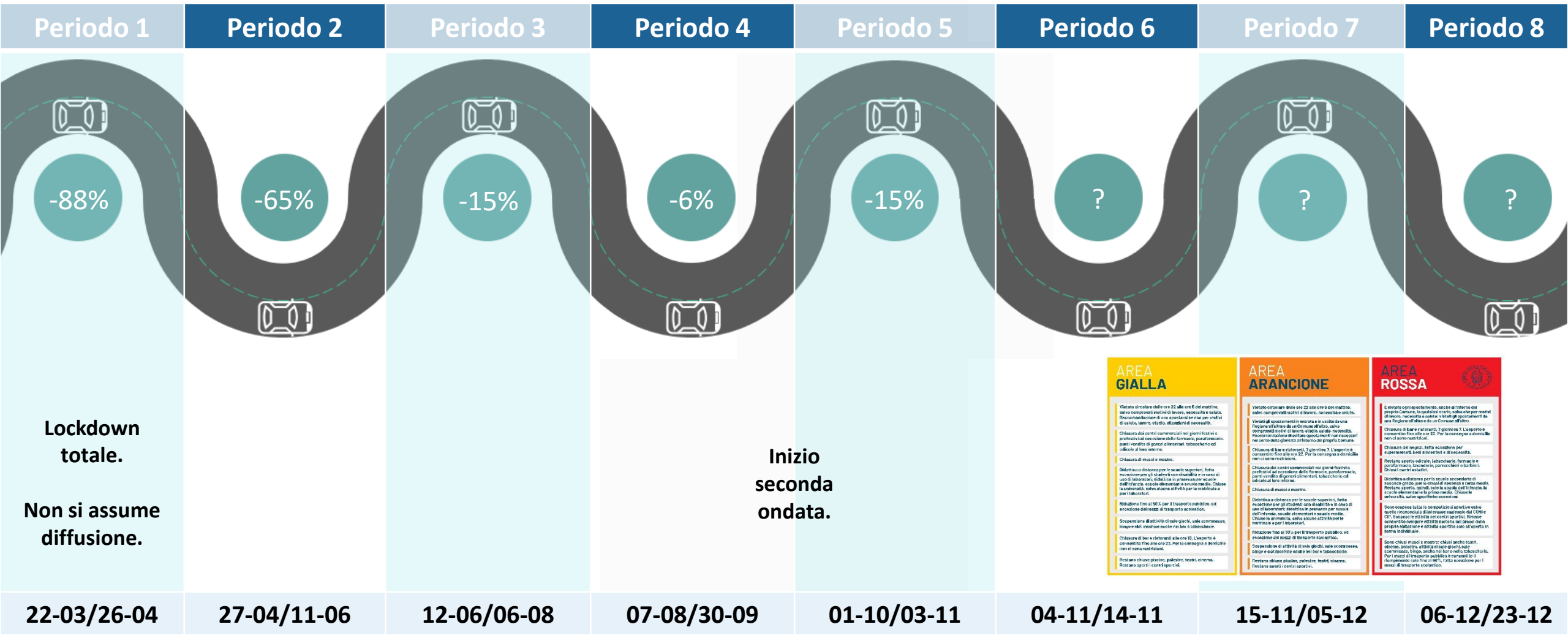
$$\text{Se } k \neq j, \quad L_{kj} = \frac{1}{T_i} \frac{F_{kj}}{N_j}$$

Flusso autostradale  
giornaliero diretto  
da  $j$  a  $k$ .

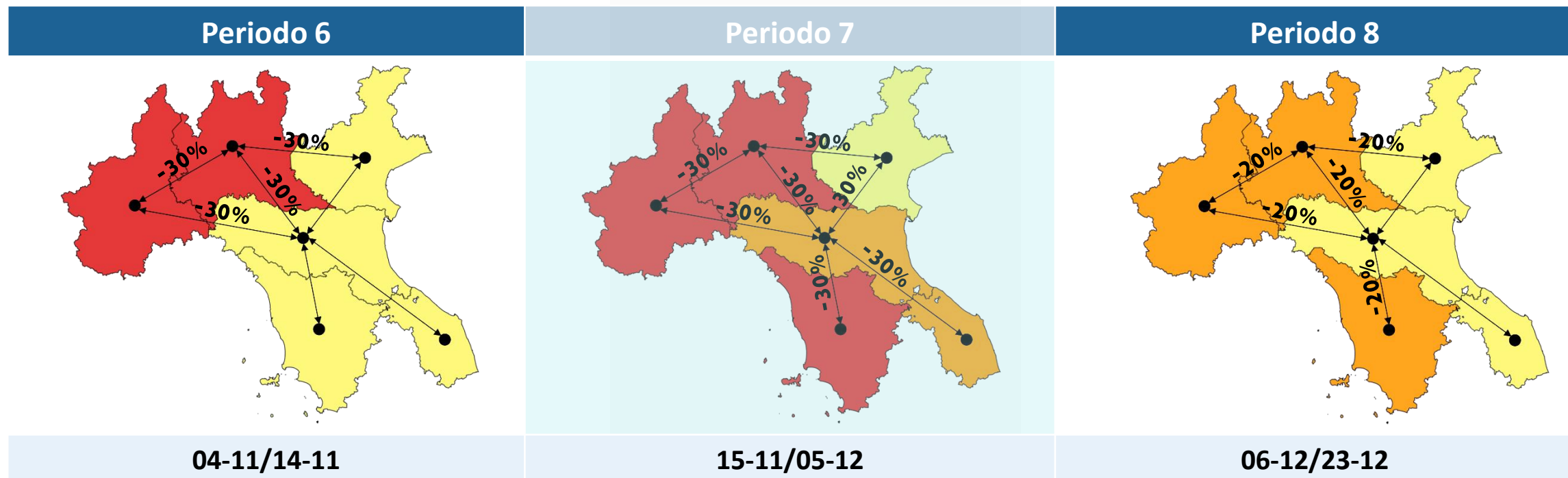
Numerosità della  
popolazione della  
regione  $j$ .

Ampiezza della  $i$ -esima  
finestra temporale.

# Suddivisione temporale dell'intervallo $[T_0, T] = [22-03-20, 23-12-2020]$ e riduzione della mobilità interregionale rispetto all'anno 2019.

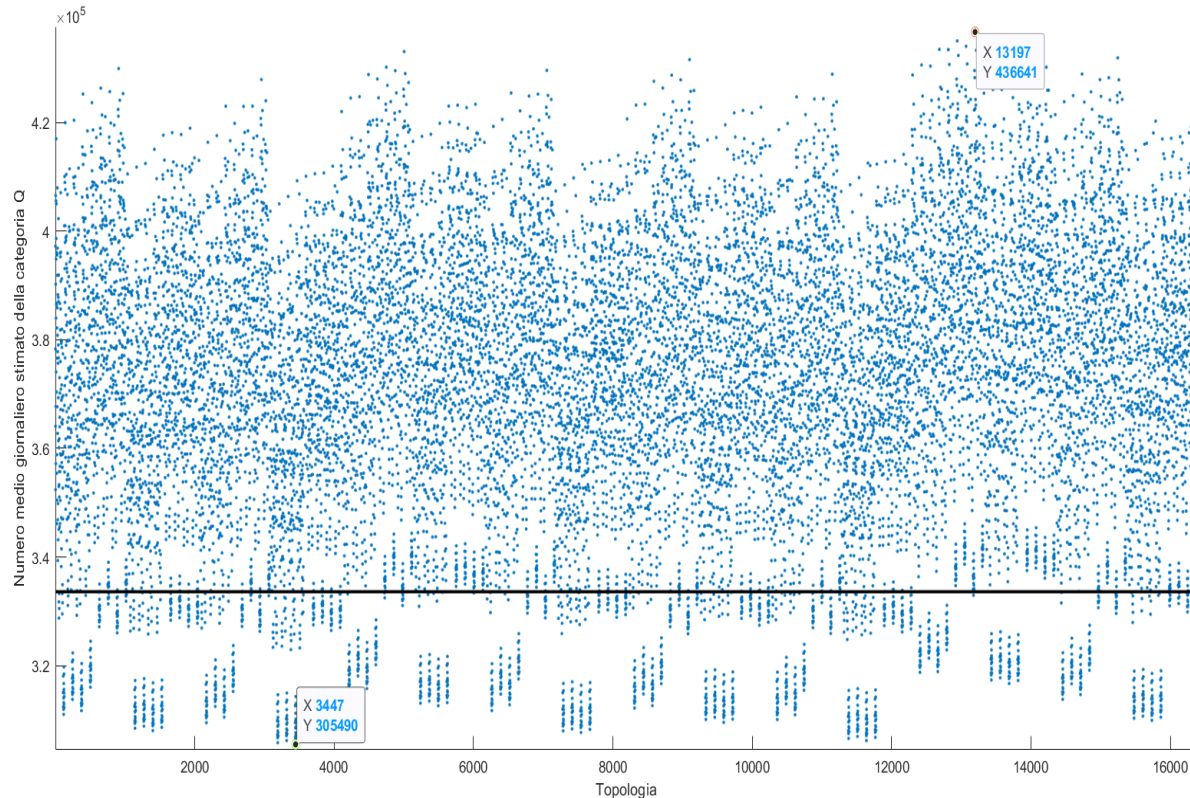


# Mobilità tra regioni caratterizzate da diverso livello di gravità



- La mobilità interregionale è diminuita complessivamente del 15% rispetto l'anno 2019.
- La mobilità da e verso zone rosse e arancioni ha subito un'ulteriore limitazione di circa il 30%.
- Nel periodo pre-natalizio si è ridotta tale differenza.

# Esperimento (1/2)



- Supposto che nel passaggio dal periodo 5 (01-10/03-11) al periodo 6 (04-11/14-11) siano variate soltanto le limitazioni sul traffico interregionale.
- Dati i valori dei parametri che definiscono il modello SEIQRDP relativi al periodo 5.
- Si considerano le  $2^{14}$  topologie realizzabili tramite i 14 lati diretti che definiscono il network.
- Per ogni topologia, si effettuano simulazioni del modello SEIQRDP nel periodo 6 per diversi valori dei parametri  $\epsilon_S = \epsilon_I$  nell'intervallo  $[0.01, 1]$ .

# Esperimento (2/2)

1. Piemonte

2. Lombardia

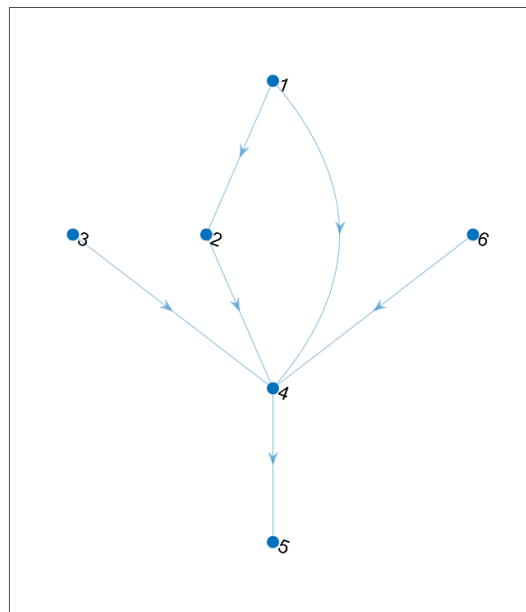
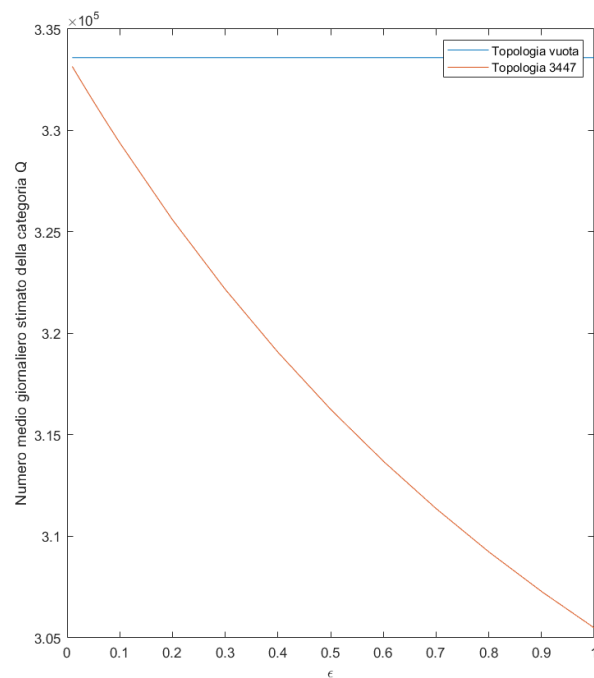
3. Veneto

4. Emilia-Romagna

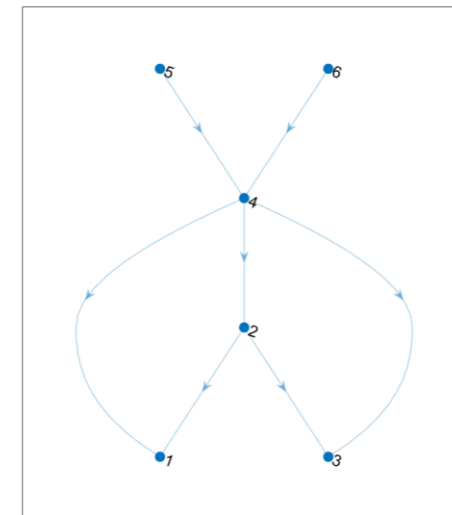
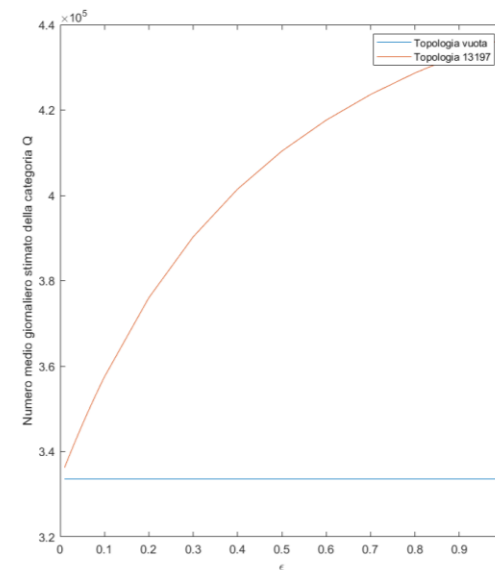
5. Marche

6. Toscana

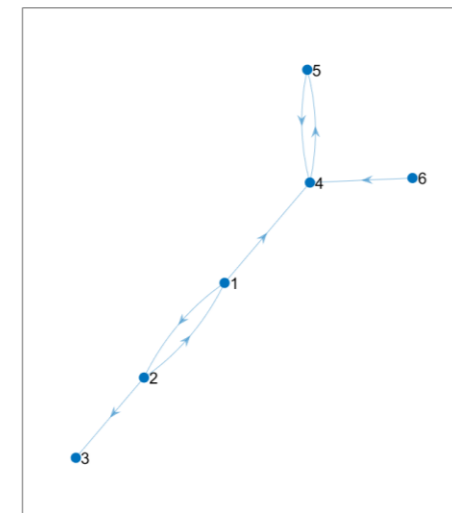
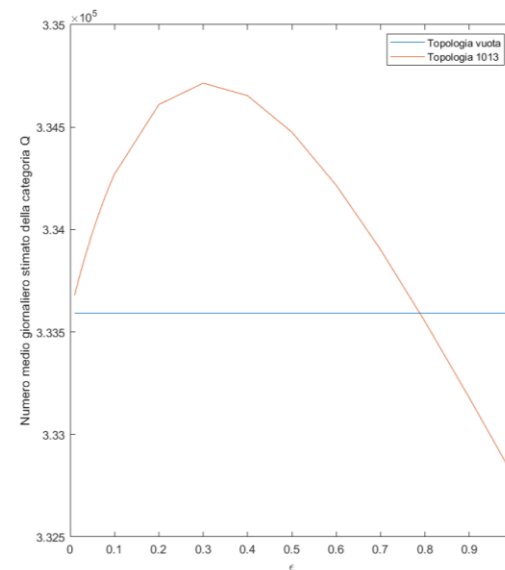
Topologia 3447



Topologia 13197

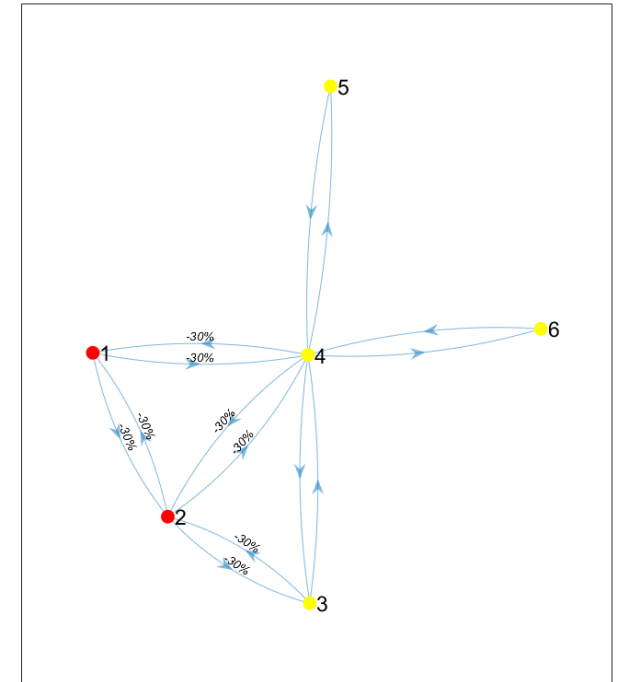
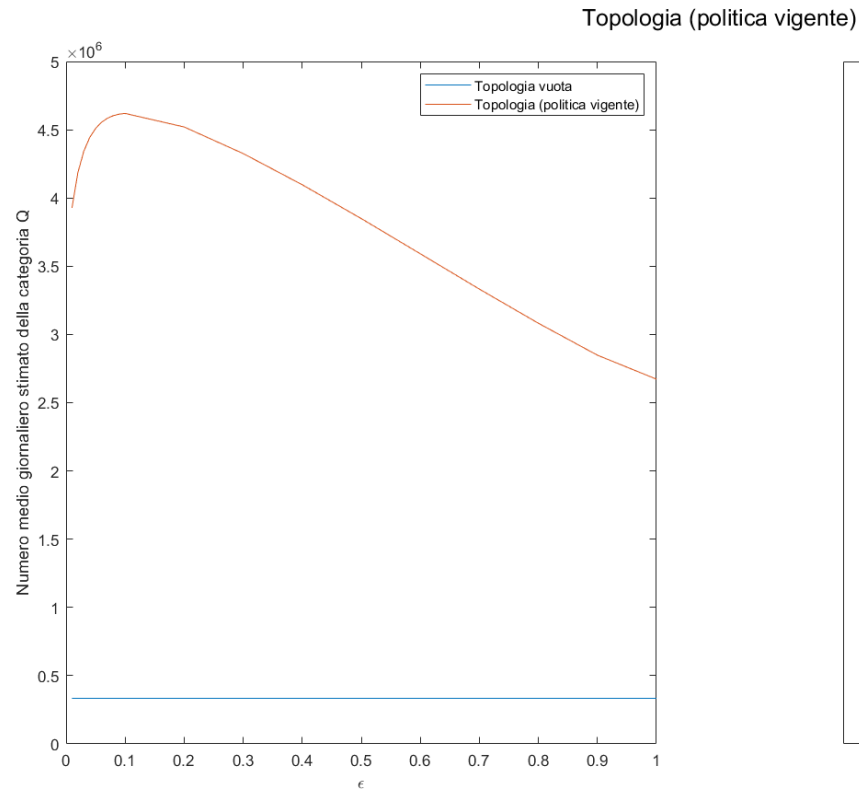


Topologia 1013



# Riflessioni sulla strategia adottata dal governo

- Corretta individuazione delle regioni considerate a maggior rischio: Piemonte (1) e Lombardia (2).
- Riduzione della mobilità VERSO tali regioni risulta essere non sufficiente a limitare la diffusione del virus.
- Non era necessario introdurre simmetria delle limitazioni.



# Conclusioni

---

La modellizzazione matematica introdotta della diffusione di un virus può aiutare a decidere quali siano le migliori strategie da adottare per il contenimento del virus in termini di mobilità interregionale.

LA LIMITATA DISPONIBILITÀ DEI DATI E IL RUMORE CHE LI CARATTERIZZA COSTITUISCE UNO DEI PRINCIPALI LIMITI RISCONTRATI.



A stylized world map with a blue background. Red circles of varying sizes are overlaid on the map, representing data points or locations. The continents are labeled in white capital letters: 'EUROPE' in the upper right, 'AFRICA' in the lower right, and 'SOUTH AMERICA' in the lower left. The map is partially obscured by a blue rectangular block on the right side.

**Grazie per l'attenzione**